

# 矩阵分析与应用大作业-附录文档

Xueke Cheng, 2021210956

Shuhan Du, 2021210969

## 1 技术路线

CSSP 问题描述：对于给定的矩阵  $A \in \mathbb{R}^{m \times n}$  从其列向量集合  $\{a_1, a_2, \dots, a_n\}$  中选择一个  $k$  元子集  $S$ ，从而最小化  $Er_A(S) := \|A - P_S A\|_F^2$ 。其中  $\|\cdot\|_F$  是 Frobenius 范数， $P_s$  是从  $A$  的列空间到  $\text{span}(S)$  的投影矩阵。

### 1.1 符号说明

1.  $H_k^i$  表示除  $H_{ii}$  为 0，其余对角元均为 1 的  $k \times k$  维对角阵。
2.  $C^+$  表示矩阵  $C$  的 Moore-Penrose 逆。
3. 对于矩阵  $A$  和序列  $R$ ， $A_R$  表示由  $A$  中的  $R$  列所构成的子集。
4.  $A_{i:}$  表示  $A$  的第  $i$  行。
5.  $A_{:i}$  表示  $A$  的第  $i$  列。
6.  $A \setminus i$  表示去掉  $A$  的第  $i$  列所得到的  $m \times (n - 1)$  维矩阵。
7.  $R[i]$  表示序列  $R$  的第  $i$  个元素。
8.  $f_i$  表示向量  $f$  的第  $i$  个分量。
9.  $\circ$  表示取 Hardamard 积。
10. 对于两个矩阵  $A$  和  $B$ ， $(A|B)$  表示矩阵  $[A \ B]$ 。
11.  $e_i$  是指定维度的标准基的第  $i$  列。

## 1.2 基本思路

不少已有算法基于以下两种思路来解决 CSSP 问题：从  $S$  为空集开始，以最小化  $Er_A(S)$  为目标从给定矩阵的列向量集合中依次选出  $S$  的  $k$  项元素；或者设计指标比较每个列向量的表现，直接选取最优的  $k$  项构成  $S$ 。而我们对于文献 [1] 中的快速迭代算法做出复现，该算法采取了一种新的思路：首先随机生成一个  $k$  元子集  $C$ ，以最小化  $Er_A(C)$  为目标依次替换  $C$  的每一列，替换完成后的  $C$  即为所求。该过程如算法 1 所示，首先从  $\{1, \dots, n\}$  中均匀随机不放回地抽取  $k$  个数构成序列集合  $R$ ， $C$  表示由  $A$  中的  $R$  列所构成的子集， $\tilde{C}$  则表示将  $C$  的第  $i$  列置零所得到的矩阵。设置收敛条件为  $Er_A(C)$  不再减小，即找到了最优替换方案。

---

### Algorithm 1 Prototype

---

$R \leftarrow$  a random initial subset of  $k$  column numbers

$C \leftarrow A_R$

**while** not converged **do**

**for**  $i = 1, \dots, k$  **do**

$\tilde{C} \leftarrow CH_k^i$

$w \leftarrow \arg \min_j \|A - P_{(\tilde{C}|A_{:,j})} A\|_F$

$C \leftarrow (\tilde{C}|A_{:,w}) \setminus i$

$R[i] \leftarrow w$

$C \leftarrow A_R$

**end for**

**end while**

output  $R$

---

接下来，基于一些理论推导对算法 1 进行优化，使其同时适用于低维和高维矩阵。

## 1.3 理论推导

优化的要点在于加速  $C^+$  的计算（也即投影矩阵的计算），这里给出一些关键性的结论，证明略。

**命题 1.** 令  $\rho = ((C^+)i :)^T$ ，有：

$$\tilde{C}^+ = C^+ - \|\rho\|_2^{-2} C^+ \rho \rho^T. \quad (1)$$

**命题 2.** 令  $E = A - P_C A = A - CC^+ A$ ， $\tilde{E} = A - P_{\tilde{C}} A = A - \tilde{C}\tilde{C}^+ A$ ，有：

$$\tilde{E} = E + C_i \rho^T A + \|\rho\|_2^{-2} \tilde{C} C^+ \rho \rho^T A. \quad (2)$$

**命题 3.** 令  $F = E^T E$ ， $\tilde{F} = \tilde{E}^T \tilde{E}$ ， $f = (\|F_{:,1}\|_2^2, \dots, \|F_{:,n}\|_2^2)$ ， $g = (F_{11}, \dots, F_{nn})$ ， $\tilde{f} = (\|\tilde{F}_{:,1}\|_2^2, \dots, \|\tilde{F}_{:,n}\|_2^2)$ ， $\tilde{g} = (\tilde{F}_{11}, \dots, \tilde{F}_{nn})$ ， $\delta = \tilde{E}_{:,j}^T \tilde{E}$ ， $\gamma = E^T E \delta^T$  有：

$$\tilde{f} = f + \|\delta\|_2^2 (\delta \circ \delta) \delta_j^{-2} + 2(\gamma \circ \delta) \delta_j^{-1}, \quad (3)$$

$$\tilde{g} = g + (\delta \circ \delta) \delta_j^{-1}. \quad (4)$$

**命题 4.** 令  $\omega = \tilde{E}_{:w}$ , 有:

$$C^+ = \tilde{C}^+ - \|\omega\|_2^{-2} (\tilde{C}^+ A_{:w} \omega^T - e_i \omega^T). \quad (5)$$

由以上四个结论最终推出  $E$  的更新方式如下:

$$E = \tilde{E} - \omega \omega^T \tilde{E} \|\omega\|_2^{-2}. \quad (6)$$

现在来优化寻找  $\omega$  的过程, 也即寻找  $w$  的过程。由算法 1 可知,  $w = \arg \min_j \|A - P_{(\tilde{C}|A_{:j})} A\|_F$ , 我们根据下面的定理对其进行简化:

**定理 1.**

$$\begin{aligned} \arg \min_i \|A - (C|A_{:i})(C|A_{:i})^T A\|_F &= \arg \max_i \frac{\|E^T E_{:i}\|_2^2}{\|E_{:i}\|_2^2}, \\ &= \arg \max_i \frac{\|E_{:i}\|_2^2}{F_{ii}}, \\ &= \arg \max_i \frac{\tilde{f}_i}{\tilde{g}_i}. \end{aligned} \quad (7)$$

至此, 对算法 1 主体部分的优化已经完成, 最后对矩阵  $A$  行数非常大 ( $m \gg n$ ) 或列数非常大 ( $n \gg m$ ) 的特殊情况进行优化, 以使算法能更快地处理高维矩阵。改进步骤基于以下定理:

**定理 2.** 对于  $A \in \mathbb{R}^{m \times n}$ ,  $m > n$ ,  $\text{rank}(A) = n$ , 令  $U^T A V = \Sigma$  为其奇异值分解, 有

$$\|A - CC^+ A\|_F^2 = \|\Sigma V^T - (U^T C)(U^T C)^+ \Sigma V^T\|_F^2, \quad (8)$$

**定理 3.** 对于  $E = A - CC^+ A$ , 令  $\tilde{U}^T E \tilde{V} = \tilde{\Sigma}$  为其奇异值分解, 有

$$f_i = \|(\tilde{\Sigma}^2 \tilde{V}^T)_{:i}\|_2^2, \quad (9)$$

$$g_i = \|(\tilde{\Sigma} \tilde{V}^T)_{:i}\|_2^2. \quad (10)$$

由此推出, 当  $m \gg n$  时, 可用  $\Sigma V^T$  代替  $A$  进行后续计算; 而当  $n \gg m$  时, 可用  $f_i = \|(\tilde{\Sigma}^2 \tilde{V}^T)_{:i}\|_2^2$  代替  $f_i = \|E^T E_{:i}\|_2^2$ 、 $g_i = \|(\tilde{\Sigma} \tilde{V}^T)_{:i}\|_2^2$  代替  $g_i = \|E_{:i}\|_2^2$  进行后续计算。

## 2 算法实现

按照上述理论推导对算法 1 进行优化后得到算法 2, 即为实际实现的算法, 即对文献 [1] 快速迭代算法的复现。

---

**Algorithm 2** Optimized Version

---

$R \leftarrow$  a random initial subset of  $k$  column numbers

**if**  $m > n$  **then**

$A \leftarrow \Sigma V^T$

**end if**

$C \leftarrow A_R$

$E \leftarrow A - CC^+A$

**if**  $n > m$  **then**

$f_i \leftarrow \|(\tilde{\Sigma}^2 \tilde{V}^T)_{:i}\|_2^2$ ;  $g_i \leftarrow \|(\tilde{\Sigma} \tilde{V}^T)_{:i}\|_2^2$

**else**

$f_i \leftarrow \|E^T E_{:i}\|_2^2$ ;  $g_i \leftarrow \|E_{:i}\|_2^2$

**end if**

**while** not converged **do**

**for**  $i = 1, \dots, k$  **do**

$j \leftarrow R[i]$

$\tilde{C} \leftarrow CH_k^i$

$\tilde{C}^+ \leftarrow C^+ - \|\rho\|_2^{-2} C^+ \rho \rho^T$

$\tilde{E} = E + C_{:i} \rho^T A + \|\rho\|_2^{-2} \tilde{C} C^+ \rho \rho^T A$

$\delta \leftarrow \tilde{E}_{:j}^T \tilde{E}$ ;  $\gamma \leftarrow E^T E \delta^T$

$\tilde{f} \leftarrow f + \|\delta\|_2^2 (\delta \circ \delta) \delta_j^{-2} + 2(\gamma \circ \delta) \delta_j^{-1}$

$\tilde{g} = g + (\delta \circ \delta) \delta_j^{-1}$

$w \leftarrow \arg \min_h \frac{\tilde{f}_h}{\tilde{g}_h}$

$\delta \leftarrow \tilde{E}_{:w}^T \tilde{E}$ ;  $\gamma \leftarrow \tilde{E}^T \tilde{E} \delta^T$

$f \leftarrow \tilde{f} + \|\delta\|_2^2 (\delta \circ \delta) \delta_w^{-2} - 2(\gamma \circ \delta) \delta_w^{-1}$

$g \leftarrow \tilde{g} - (\delta \circ \delta) \delta_w^{-1}$

$C^+ \leftarrow \tilde{C}^+ - \|\omega\|_2^{-2} (\tilde{C}^+ A_{:w} \omega^T - e_i \omega^T)$

$E \leftarrow \tilde{E} - \omega \omega^T \tilde{E} \|\omega\|_2^{-2}$

$R[i] \leftarrow w$

$C \leftarrow A_R$

**end for**

**end while**

output  $R$

---

### 3 算法分析与对比

#### 3.1 复杂度

该算法的时间复杂度主要取决于循环的复杂度，循环中主要的步骤在于  $C^+$  和  $E$  的更新，以及  $\delta$  和  $\gamma$  的计算。

##### 1. $C^+$ 的计算（一个循环内）

由  $C$  直接计算  $C^+$  伪逆的计算时间复杂度一般在  $O(mk^2)$ ，例如列递推法。

算法中使用  $\tilde{C}^+ = C^+ - \|\rho\|_2^{-2} C^+ \rho \rho^T$  和  $C^+ = \tilde{C}^+ - \|\omega\|_2^{-2} (\tilde{C}^+ A_{:,w} \omega^T - e_i \omega^T)$  优化后，时间复杂度减小到  $O(mk)$ 。

##### 2. $E$ 、 $\delta$ 和 $\gamma$ 的计算（一个循环内）

$$\because \tilde{E} = E + C_{:,i} \rho^T A + \|\rho\|_2^{-2} \tilde{C} C^+ \rho \rho^T A \therefore \text{复杂度为 } O(mn).$$

$$\because \delta \leftarrow \tilde{E}_{:,j}^T \tilde{E}; \gamma \leftarrow E^T E \delta^T \therefore \delta \text{ 和 } \gamma \text{ 的计算时间复杂度是 } O(mn).$$

$$\because \tilde{f} \leftarrow f + \|\delta\|_2^2 (\delta \circ \delta) \delta_j^{-2} + 2(\gamma \circ \delta) \delta_j^{-1}; \tilde{g} = g + (\delta \circ \delta) \delta_j^{-1} \therefore \tilde{f} \text{ 和 } \tilde{g} \text{ 的计算时间复杂度是 } O(n).$$

$$\because w \leftarrow \arg \min_h \frac{\tilde{f}_h}{\tilde{g}_h} \text{ 是排序问题 } \therefore \text{复杂度小于 } O(n^2).$$

$$\because \delta \leftarrow \tilde{E}_{:,w}^T \tilde{E}; \gamma \leftarrow \tilde{E}^T \tilde{E} \delta^T \therefore \delta \text{ 和 } \gamma \text{ 的计算时间复杂度是 } O(mn).$$

$$\because f \leftarrow \tilde{f} + \|\delta\|_2^2 (\delta \circ \delta) \delta_w^{-2} - 2(\gamma \circ \delta) \delta_w^{-1}; g \leftarrow \tilde{g} - (\delta \circ \delta) \delta_w^{-1} \therefore f \text{ 和 } g \text{ 的计算时间复杂度是 } O(n).$$

$$\because E \leftarrow \tilde{E} - \omega \omega^T \tilde{E} \|\omega\|_2^{-2} \therefore \text{复杂度为 } O(mn).$$

因此，在一个循环内，主要操作的时间复杂度为  $O(mn)$ （因为  $k$  小于  $n$ ）。另一方面，由于候选子集的每个列都需要经过循环内的操作，因此循环次数为  $k$ ，因此每次子集迭代的复杂度为  $O(mnk)$ 。

当  $m$  远大于  $n$  时，根据定理 2，可以将循环的复杂度减少到  $O(n^2 k)$ ，但在算法初始阶段，时间复杂度为  $O(mn^2)$  操作。由于现有的奇异值分解高效且通常为并行，因此  $E^T E$  计算的复杂度为  $O(mn^2)$ ，在  $n > m$  时，根据定理 3，可以减小到  $O(m^2 n)$ 。

#### 3.2 精度

这里讨论算法 2（快速迭代算法）给出的近似结果  $C$ （也即  $A_R$ ）对应的  $Er_A(C) := \|A - P_C A\|_F^2 = \|A - C C^+ A\|_F^2$  的上界，也对应  $\|C C^+ A\|_F^2$  的下界，在文献 [2] 中有所证明。根据文献 [3]，可以进行如下证明。引理 1 给出了 **Greedy** 算法中每次迭代时  $\|C C^+ A\|_F^2$  增量的下界。

**引理 1.** 设矩阵  $B$  为 CSSP 问题的精确最优解,  $C$  为  $A$  的列向量集合的子集所构成的矩阵, 那么有  $\|CC^+A\|_F^2 \leq \|BB^+A\|_F^2$ 。不失一般性, 对  $B$  进行归一化, 使其列向量均为单位向量, 对于  $B$  中的某一系列  $v$ , 若  $X = (C|v)$ , 有:

$$\|XX^+A\|_F^2 - \|CC^+A\|_F^2 \geq \sigma_k^2(B) \frac{(\|BB^+A\|_F^2 - \|CC^+A\|_F^2)^2}{4k\|BB^+A\|_F^2}, \quad (11)$$

其中  $\sigma_k(B)$  表示  $B$  的第  $k$  大的奇异值。

基于引理 1, 得到如下定理:

**定理 1.** 设算法 2 给出的近似结果为  $C$  (也即  $A_R$ ), 矩阵  $B$  为 CSSP 问题的精确最优解, 对  $B$  进行归一化, 对于整数  $k \geq 2$ , 有:

$$\|CC^+A\|_F^2 \geq \sigma_k^2(B) \frac{\sigma_k^4(BB^+A)}{4\|BB^+A\|_F^2} + \sum_{i=n-k+2}^n \sigma_i^2(A), \quad (12)$$

下面给出证明。

从第一次迭代开始, 对于随机生成的  $m \times k$  维矩阵  $C$ , 令  $\bar{C}_i = C \setminus i$ , 那么  $CC^+A$  可以表示为  $CC^+A = \check{C}_i + \hat{C}_i$ , 其中  $\check{C}_i = \bar{C}_i \bar{C}_i^+ A$ , 表示  $CC^+A$  在  $\bar{C}_i$  的列空间上的分量, 而  $\hat{C}_i = CC^+A - \bar{C}_i \bar{C}_i^+ A$  表示与之正交的部分, 那么  $\|\hat{C}_i\|_F^2$  就是将  $C$  的第  $i$  列去掉时  $\|CC^+A\|_F^2$  所损失的量, 因此有:

$$\sum_{i=1}^k \|\hat{C}_i\|_F^2 \leq \|CC^+A\|_F^2, \quad (13)$$

且  $C$  中至少有一列  $u$  满足:

$$\|\hat{C}_u\|_F^2 \leq \frac{\|CC^+A\|_F^2}{k}. \quad (14)$$

另一方面, 考虑到将  $C$  的第  $i$  列去掉时, 剩余的  $k-1$  列 (也即  $\bar{C}_i$ ) 的范数保持不变, 因此对于任意  $i$ , 有:

$$\|\hat{C}_i\|_F^2 \leq \|CC^+A\|_F^2 - \|\bar{C}_i\|_F^2. \quad (15)$$

根据奇异值的性质, 对于  $i = 1, \dots, k$ ,  $\sigma_i(\bar{C}_i) \geq \sigma_{n-k+i+1}(A)$ 。再根据 Frobenius 范数的定义, 得到  $\|\bar{C}_i\|_F^2 \geq \sum_{i=n-k+2}^n \sigma_i^2(A)$ 。因此,  $C$  中存在一系列  $u$  满足:

$$\|\hat{C}_u\|_F^2 \leq \frac{1}{k} (\|CC^+A\|_F^2 - \sum_{i=n-k+2}^n \sigma_i^2(A)). \quad (16)$$

将上式与引理 1 相结合, 可知  $C$  中至少有一列  $u$  满足: 当它被替换后,  $\|CC^+A\|_F^2$  增加  $\sigma_k^2(B) \frac{(\|BB^+A\|_F^2 - \|\bar{C}_u \bar{C}_u^+ A\|_F^2)^2}{4k\|BB^+A\|_F^2} - \frac{1}{k} (\|CC^+A\|_F^2 - \sum_{i=n-k+2}^n \sigma_i^2(A))$ 。根据算法 2 的设定, 迭代停止时, 该增量非负, 因此有:

$$\frac{1}{k} \|CC^+A\|_F^2 \geq \sigma_k^2(B) \frac{(\|BB^+A\|_F^2 - \|\bar{C}_u \bar{C}_u^+ A\|_F^2)^2}{4k\|BB^+A\|_F^2} + \frac{1}{k} \sum_{i=n-k+2}^n \sigma_i^2(A). \quad (17)$$

最后, 由于  $\bar{C}_u \bar{C}_u^+ A$  是  $BB^+A$  的  $k-1$  维近似, 推出:

$$\frac{1}{k} \|CC^+A\|_F^2 \geq \sigma_k^2(B) \frac{\sigma_k^4(BB^+A)}{4k\|BB^+A\|_F^2} + \frac{1}{k} \sum_{i=n-k+2}^n \sigma_i^2(A), \quad (18)$$

也即定理 1 所给出的结论。

### 3.3 与 SVD 的理论对比

根据课上所学, 对于给定矩阵  $A$ , 可以利用奇异值分解对其进行低秩逼近。设  $A \in \mathbb{R}^{m \times n}$  的奇异值分解为  $A = U\Sigma V^T$ , 且  $\sigma_1 \geq \sigma_2 \geq \dots \geq \sigma_t \geq 0, r = \text{rank}(A)$ 。令

$$A_k = \sum_{i=1}^k \sigma_i u_i v_i^T, k \leq r$$

则  $\min_{\text{rank}(X) \leq k} \|A - X\|_F = \|A - A_k\|_F = \sqrt{\sigma_{k+1}^2 + \dots + \sigma_r^2}$ , 即  $A_k$  是  $A$  的最佳秩  $k$  逼近, 在代码中被注释掉的部分可以证明等式的成立。

因此奇异值分解的输入为逼近矩阵的秩, 而 CSSP 问题中, 可能出现  $\text{rank}(A) < k$  的情况, 因此 CSSP 逼近的误差很可能大于 SVD 低秩逼近的误差。且奇异值低秩逼近法计算的步骤很少, 只有奇异值分解和求和两步, 因此其计算复杂度小于快速迭代法。

## 4 数值实验结果

### 4.1 精度验证

低秩情况下, 遍历法可以在可接受时间内计算完毕, 因此以遍历法为参照标准。可以看到本次作业复现的快速迭代法与遍历法相差较小。分别计算  $\|BB^+A\|_F^2$   $\|CC^+A\|_F^2$  和  $\sigma_k^2(B) \frac{\sigma_k^4(BB^+A)}{4\|BB^+A\|_F^2} + \sum_{i=n-k+2}^n \sigma_i^2(A)$ , 可以得到算式 12 的不等关系。奇异值低秩逼近的误差小于该情况。下图为某次运算的结果, 可以看到算式 12 的不等关系成立, 奇异值低秩逼近的误差小于遍历法小于快速迭代法, 且遍历法和快速迭代法的误差很相近。

```
E_traversal algorithm
35.0964

E_fast iterative algorithm
35.8676

E_SVD Echkart-Young
19.5329

Lower bound
75.9576

||CC+A||_F^2
272.2018

||BB+A||_F^2
273.2898
```

图 1: 不同方法精度结果

## 4.2 运行时间

对于同一低秩矩阵，重复运行算法 20 次计算总时间并取平均作为运行一次的时间。结果如图，可以看到本算法的时间复杂度远远小于遍历法，但大于奇异值低秩逼近，同时本算法与遍历法取到的列重复率较高。

```
t_fast iterative algorithm
2.7200

t_fast iterative algorithm
0.0200

t_SVD Echkart-Young
0.0030

R_traversal algorithm
1 2 4 6 7 9 10 12 13 15

R_fast iterative algorithm
2 4 7 8 9 10 11 12 13 15
```

图 2: 不同方法运行时间结果

对于不同高维矩阵，改变矩阵的列数，保持选择的列数  $k$  不变，考察随着原始矩阵列数增大运行时间的变化。随机生成一个 200 行 250 列的矩阵，保持  $k = 100$ ，选取 A 矩阵，A 的列为该随机矩阵的前  $n$  列， $n$  从 100 取到 250。运行时间结果如下图，可以看到随着矩阵维数增大，运行时间增大。

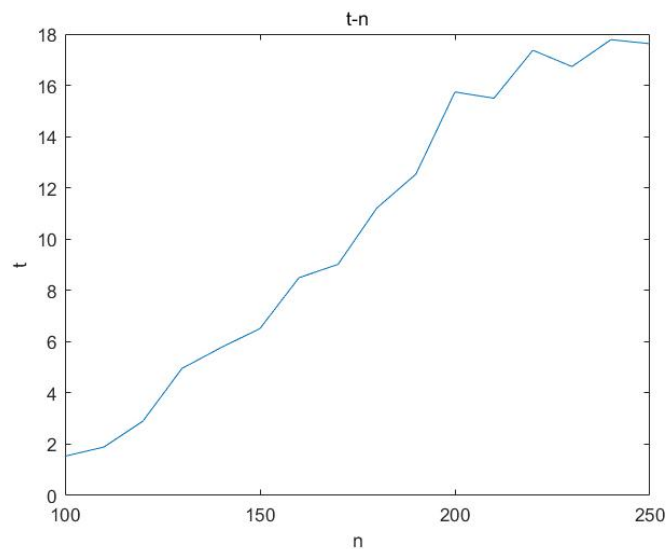


图 3: 运行时间随列数改变结果



## 5 代码自述

1. `travelsal_CSSP.m`: 遍历法求解 CSSP 问题函数, 输入为原始矩阵  $A$  和选择列数  $k$ , 输出为选中的列号。
2. `approx_CSSP.m`: 快速迭代法 (本次作业复现的算法) 求解 CSSP 问题函数, 输入为原始矩阵  $A$  和选择列数  $k$  以及重复迭代次数 `ITER_NUM`, 输出为选中的列号。
3. `SVD_EchkarYoung.m`: 奇异值分解低秩逼近函数, 输入为原始矩阵  $A$  和低秩矩阵的秩  $k$ , 输出为秩为  $k$  的矩阵和误差 (估计矩阵和原始矩阵差的 Frobenius 范数的平方)。
4. `main_low.m`: 直接运行文件, 低秩情况下三种方法的对比 (误差和运行时间) 以及精度不等式的验算。
5. `main_high.m`: 直接运行文件, 高维情况下运行时间随着维数增加的变化, 结果以折线图表示。

## 6 主要参考文献

- [1] Ordozgoiti B , Canaval S G , Mozo A . A Fast Iterative Algorithm for Improved Unsupervised Feature Selection[C]// IEEE International Conference on Data Mining. IEEE, 2017.
- [2] Altschuler J , Bhaskara A , Gang, et al. Greedy Column Subset Selection: New Bounds and Distributed Algorithms[J]. JMLR.org, 2016.
- [3] Ordozgoiti B , Canaval S G , Mozo A . Iterative column subset selection[J]. Knowledge and Information Systems, 2017

注: 文献 [1] 作者有公开代码, 但是我们仅根据论文内容进行复现。